позволяет получать достаточно однородные по толщине и удельному поверхностному сопротивлению Ta-Al пленки с минимальным разбросом параметров (меньше, чем у TaN пленок)

При использовании ситалловых подложек раднусы эллипсообразного расположения таблеток должны подбираться такими, чтобы соответствовали сторонам прямоугольной подложки. Выполнение этих условий обеспечивает максимальную однородность пленок, полученных из составных мишеней Ta-AI. Этот способ новыщения однородности пленок может быть применен при использовании любой составной мишеня.

ЕрПИ им. К. Маркса

17, 1X, 1986

ЛИТЕРАТУРА

- Рахмания Н. М., Реуданик В В. Резисторы для прецизирных микросхем цифроаналоговых преобразователей на основе вленок системы тантал-алюмиили // Электронная техника. — 1979. — Сер. 5, вып. 6 (37). — С. 22—29.
- Апетисян А. М. Сравнение свойств резистивных пленок сплавов на основе тантала // Электронная техника, сер. Радиодетали и радиокомпоненты.— 1983. — Вып. 1 (50). С. 13—15.
- Банковская С. К. Буганова Л. Ф. Лат-чанская Н. С. Использование внодно-оксидшых плено. тантал-алюминия для изготовления прецизновных резисторов ГИС // Техника представа связа. 1981 — Вып. 5. — С. 62—66.

Han All ApsiCCP (cep. TH), T. XL, № 5, 1987

научныі заметки

н. с. хондкарян

АНАЛИЗ МНОГОУРОВНЕВОЙ ОБУЧАЮЩЕЙСЯ СИСТЕМЫ МЕТОДАМИ ИМИТАЦИОННОГО МОДЕЛИРОВАНИЯ

Одним из наиболее важных методических приемов при анализе иринципов управления и переработки информации в различных отделах мозга показали себя методы математического моделирования, опирающиеся на физиологические представления о принципах функционирования реальных нервных клеток [1, 2]. Недостатки такого рода работ связаны с упрощенным математическим анпаратом, используемым для описания как отдельного нейронного элемента, так и связей между инми в имитируемой сети. В настоящей работе дано математическое описание самоорганизующейся обучающейся нейронной сети, в которой модель нейронного элемента и связи между элементами опиряются на существующие на сегодиящий день физиологические и модельные представления.

Модель состоит из n уровней, расположенных один над другим (рис. 11. Каждый уровень содержит $U_l(n)$ возбуждающих и $V_l(n)$ тормозных нейронов. Здесь $n=(n_x,n_x)$ определяет расположение клетки. Каждая возбуждающая клетка $U_l(n)$ l-го слоя принимает фиксированное количество окончаний нервных волокон (синапсов) от возбуждающих $U_{l-1}(n+m)$ (из проекционной зоны) и тормозного $V_{l-1}(n)$ нейронов предыдущего слоя l-1. Под действием ритмического ряда импульсы неса синапсов изменяются, что в модели соответствует изменению количества медиатора, высвобождаемого в синаптическую щель [3]. При таком подходе характеристикой модифицируемого синапса является величина выброса медиатора V_l в момент ноступления l-го импульса по данному входу. Ранее было показано, что величина выброса медиатора определяется произведением двух величин мобилизации медиатора e(t) и величной изменения его количества в пресинаптическом окончания W(t) [3, 4].

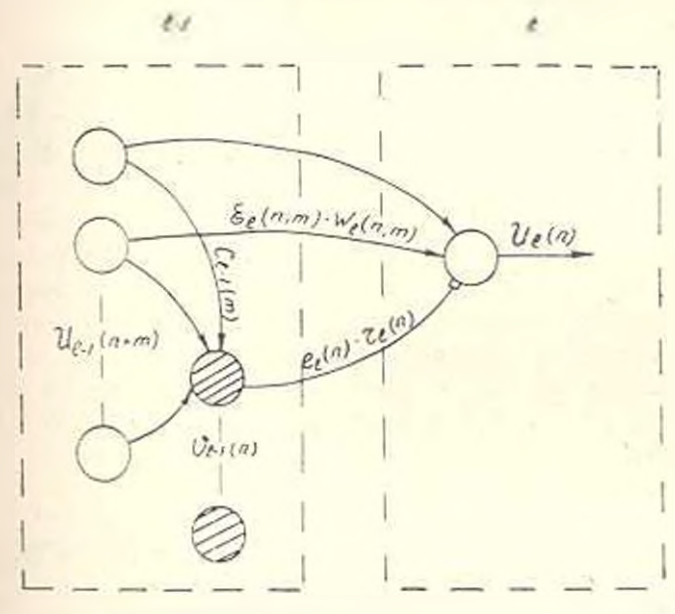


Рис. 1 Многоуровневая обучающияся нейронная сеть

Обозначим параметры пресинаптического окончания клетки $U_i(n)$ по каждому из возбуждающих входов через $z_i(n,m)$ и $W_i(n,m)$, а параметры пресинаптического окончания той же клетки по тормозному входу от клетки $V_{i+1}(n) - e_i(n)$ и $r_i(n)$. Тогда выход нейропа $U_i(n)$ запишем в виде

$$U_{i}(n) = \mp \left[\frac{1 + \sum_{m} \{S_{i} U_{i-1}(n+m) z_{i}(n,m) | W_{i}(n,m) \}}{1 + V_{i-1}(n) e_{i}(n) r_{i}(n)} - 1 \right]$$
 (1)

где S. — проекционная дона клетки.

При этом:

$$\varphi[x] = \begin{cases} x, & \text{есля } x \geqslant 0; \\ 0, & \text{есля } x < 0. \end{cases}$$
 (2)

Приведенная форма определения суммарного постеннаптического потенциала (отношение величины суммарного возбуждающего потенциала l—1 слоя к величине тормозного влияния того же слоя) объясняется необходимостью ограничения скорости увеличения процесса обучения.

Если знаменятель $V_{l-1}(n)\,e_l(n)\ll 1$, то $U_l(n)$ приобретает вид, используемый для описания обычного аналогово-порогового элемента [3].

Тормозная клетка $U_{i-1}(n)$ принимает синаптические соединения $U_{i-1}(n+m)$ и на его выходе потенциал равен

$$(n) = \sum_{i=1}^{n} \{S_{i-1}(v) \mid (n+m),$$
 (3)

где

$$\sum_{i} \{S_{i} C_{i-1}(v) = 1.$$
 (4)

Аля того, чтобы модель нейронной системы была способна к самообучению, необходимо задать правила модификации (изменения весов) афферентных синаптических соединений от нейронов проекционной зоны и гормозного нейрона к нейрону вышестоящего слоя. В настоящей моделя синаптическая модификация основана на видоизмененной гипотезе Бриндли [5, 6]. Параметры синаптического соединения от пресинаптического нейрона, входящего в проекционную зону U_{i-1} (n+m) к постеинаптическому нейрону U_i (л), изменяются только при условии срабатывания обоих нейронов, причем, потенциал постеинаптического нейрона должен быть максимальным в некоторой зоне распределения, заданной для каждого афферентного нейрона.

Введем функцию:

$$S_{\nu}(n) = \begin{cases} 1 & \text{если } U_{\nu}(n) > U_{\nu}(n+m) \text{ для каждой } \nu \in \Omega_{\ell}; \\ 0, \text{ в противном случае.} \end{cases}$$
 (5)

где Ω определяет зону распределения клетки.

Если функция $\epsilon_i(n)$ принимает значение, равное единице, то скорость изменения синаптической модификации будет определяться, исходя из следующих условий. Обозначии:

$$= (n, m) \ W_1(n, m) = B_1(n, m); \quad e_1(n) \ r_1(n) = D_1(n).$$

Если $U_{I}(n)=0$, то

$$\Delta B_{i}(n, m) = q_{0} C_{i-1}(m) U_{i-1}(n+m) \delta_{i}(n), \qquad (6)$$

$$\Delta D_{t}(n) = q_0 V_{t-1}(n) \delta_{t}(n), \qquad (1)$$

а если $U_{1}(n) > 0$, то

$$\Delta B_{i}(n, m) = q \cdot C_{i-1}(m) U_{i-1}(n+m) \delta_{i}(n), \qquad (8)$$

$$\Delta D_{i}(n) = \frac{\sum_{i=1}^{n} \sum_{k=1}^{n} \Delta B_{i}(n, m) U_{i-1}(n+m) \delta_{i}(n)}{2V_{i-1}(n)} = \frac{q \sum_{k=1}^{n} \sum_{i=1}^{n} C_{i-1}(m) U_{i-1}^{2}(n+m)}{2V_{i-1}(n)}, \quad q_{1} > q_{0} > 0.$$

На основе приведенных уравнений разработан алгорити машинных расчетов, позволяющий проводить численный анализ процессов переработки информации в нейронных структурах мозга. На рис. 2 и 3 показана эффективность воспроизведения полного образа в зависимости от местоположения слоя, в котором выбрана клетка с максимальной активностью.

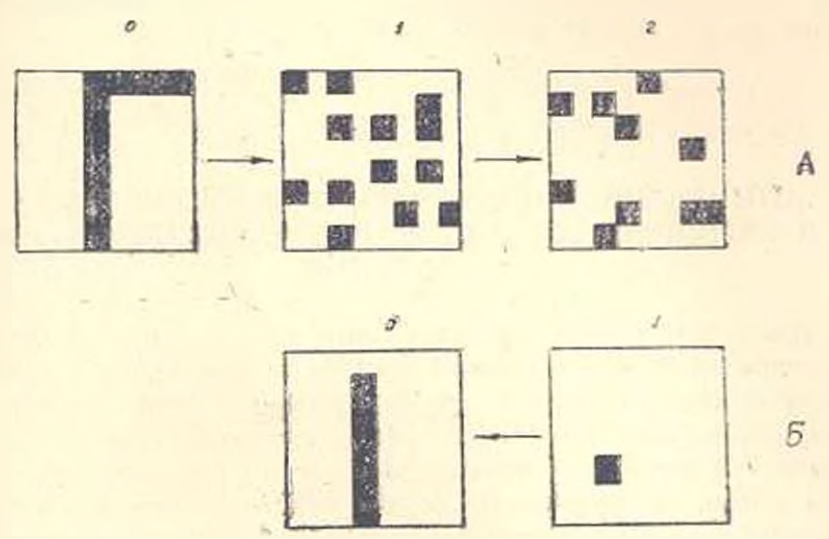


Рис. 2. A — ответы сети на латтери стимулов, соответствующих бужве «Г». Стимулы предъявлены нулевому уровню 40-кратным поэторением. После сорока предъявлений выделяются клетки, имеющие максимальную активность в зонах распределения. Б — обратное воспроизведение от одинонной клетки иторого слоя. Исходиме данные: проекционкая зона 1 зона распределения — квадраты 3×3 и 2×2 соответственно. Коэффициенты обучения $a_0=2$, $a_1=8$.

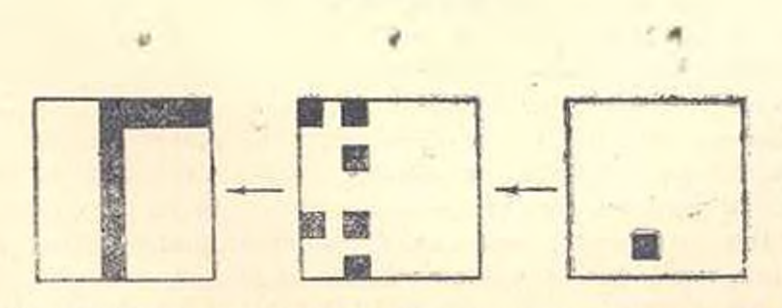


Рис. 3. Обратное воспроизведение от одиночной клетки третьего слоя.

- 1) Элеженты теория биологических анализаторов / Под ред *Н В. Позина.* М. Наука, 1978.— 360 с.
- 2. Perhet D. E. A computer program for simulating a network of interacting neurones. Comp. and Blomed. Res. 1976, v. 9, Ni 1, p. 31 43.
- 3. Мелконян Л. С., Мкргиян О. А., Хондхарян И. С. Математическое описание поведения сиванса в условиях ритмической стимуляции // ДАН АрмССР.— 1977.— Т. 65.— № 1.— С. 59—64.
- Хондкарян Н. Мелконян Авлиз механ моз синаптической пластичности в нейронах красиого ядра методами имитационного моделирования // Биол. жури. Арминии. 1985.— № 5.— С. 387—392.
- a. Marr D. A theory of cerebetlar cortex//. Physiol. 1969. –V. 202. P. 437. Fukushima E. Cognitron: A self-organizing multilayered neural metwork'. Biol. Cybernetics. 1975. V. 20 P. 121-136.

Нзв. АН АрмССР (сер. ТН), г. XL. № 5, 1987

НАУЧНЫЕ ЗАМЕТКИ

А. С. ОВАКИМЯН

ОПТИМИЗАЦИЯ ДИНАМИЧЕСКИХ РЕЖИМОВ РАБОТЫ ЭЛЕКТРОПРИВОДОВ С ДПМС ПРИ ЧАСТОТНО-ТОКОВОМ УПРАВЛЕНИИ

Двигатели с переменным магнитным сопротивлением относятся к синхронным машинам с наиболее простой и технологичной конструкцией, обладающей пассивным зубчатым ротором и сосредоточенной обмоткой управления на статоре. Частотно-токовое управление подразумевает формирование кривых токов фаз в функции углового положения ротора, что равнозначно формированию электромагнитного момента двигателя. Если не учитывать коэффициенты взаимонндуктивностей фаз, которые на порядок меньше, чем собственные индуктивности [1], электромагнитный момент, развиваемый ДПМС, будет равняться:

$$M = \frac{1}{2} \sum_{i=1}^{n} i_{i}^{2} L_{i}^{*}(\hat{v}), \tag{1}$$

где — ток, протекающий в *i*-той фазе; *m* — число фаз; *L* (0) — произнодная собственной индуктивности фазы в функции углового положения ротора 0 (здесь и в дальнейшем производные обозначены со штрихами).

Как показано в [2], для обеспечения гребуемого момента при минимуме потерь в обмотках ток должен протекать только в гой фазе, которая при данном 0 обладает наибольшей $L_i(\theta)$ по сравнению с другими. Исходя из этого, можно выделить оптимальные угловые диапазоны коммутаций фаз: для симметричной m-фазной машины угловые диапазоны равны $2\pi/m$ эл, градусов. В каждом днапазоне обтекается